

استفاده از میلگردهای کلاهک دار نزدیک به هم در اتصال‌های تیر - ستون تحت بارگذاری چرخه‌یی

علیرضا پورحسن (کارشناس ارشد)

محمد رضا اصفهانی^{*} (استاد)

دانشکده‌ی مهندسی، دانشگاه فردوسی مشهد

در دو دهه‌ی اخیر، میلگردهای کلاهک دار به عنوان یکی از مناسب‌ترین انتخاب‌ها چهت کاوش از دحام میلگردها در اتصال‌های تیر - ستون بتن مسلح مطرح شده‌اند. از طرفی، آینین نامه‌های موجود از جمله آینین نامه‌ی ۱۱-۳۱۸ ACI در مورد فاصله‌ی آزاد میلگردهای کلاهک دار و استفاده از آن‌ها در چند ردیف، کاستی‌هایی دارند. به علاوه، نیاز به داده‌های آزمایشگاهی بیشتری در این زمینه احساس می‌شود. از طرف دیگر، اثر تأم پارامترهای طراحی میلگردهای کلاهک دار ممکن است پاسخ اتصال را تحت تأثیر قرار دهد. در این پژوهش، ^۴ نمونه‌ی اتصال خارجی تیر - ستون با ترکیب‌های متفاوت طول مهار، فاصله‌ی آزاد، و چیدمان متفاوت میلگردهای کلاهک دار براساس ضوابط لرزه‌یی و بیهه با مقیاس ۲:۳ اندازه‌ی واقعی ساخته شده و مورد آزمایش چرخه‌یی قرار گرفته و رفتار آن‌ها براساس معیارهای پذیرش برای قاب‌های خمیستی تحت شرایط ویژه‌ی لرزه‌یی ارزیابی شده است. نتیجه‌ی بررسی‌ها نشان داده است که اتصال‌های آزمایش شده با میلگردهای با فاصله‌ی آزاد کمتر از مقدار تعیین شده در آینین نامه‌ها، رفتار مناسب لرزه‌یی نشان داده‌اند.

ar.pourhassan@gmail.com
esfahani@um.ac.ir

وازگان کلیدی: اتصال تیر - ستون، بارگذاری چرخه‌یی، بتن مسلح، طراحی لرزه‌یی، میلگرد کلاهک دار.

۱. مقدمه

در ازدحام میلگردهای با قطر بالا و یا جایگیری بد بن در اطراف میلگردها رخ دهد. استفاده از میلگردهای کلاهک دار در سازه‌های بتن مسلح نسبتاً بزرگ، که در معرض بارهای فوق العاده از قبیل زلزله‌های شدید یا انفجار قرار دارند، در حال افزایش است، که عمل آن اغلب فراهم‌آوردن راه حل مناسبی برای مشکل ازدحام فولاد است.^[۱] ضایعه‌های طراحی میلگردهای کلاهک دار برای نخستین بار در نسخه‌ی سال ۲۰۰۸ آینین نامه‌ی ACI ۳۱۸ اضافه شده است.^[۲] این ضایعه‌ها شامل الیاتی برای طول مهار (l_{dt})، مشخصات مصالح (f_{c'} و f_{y'})، قطر میلگردهای مسلح کننده (d_b)، مساحت باربر خالص کلاهک (A_{b_{rg}})، و همچنین پوشش آزاد بتن و فاصله‌ی آزاد میلگردها (c_s و c_e) هستند. در توسعه‌ی آینین نامه‌ی مذکور، داده‌های پیشین آزمایش‌های مربوط به اتصال‌های تیر - ستون در نظر گرفته نشده و محدودیت‌های آینین نامه براساس نتایج آزمایش‌های غیرچرخه‌یی تعیین شده‌اند.^[۳] با وجود این، راهنمای طراحی اتصال‌های تیر - ستون یک پارچه‌ی بتنی با استفاده از میلگردهای کلاهک دار از سال ۲۰۰۲ در دستوالعمل طراحی ACI-ASCE ۳۵۲R-۰ موجود بوده است.^[۴] در آینین نامه‌ی ACI ۳۱۸-۱۱ کلاهک دار (c_s) نباید کمتر از ۴d_b (قطر میلگرد) باشد.^[۵] این یک مشکل جدی است، چراکه معمولاً از میلگردهای کلاهک دار در تاچیه‌ی اتصال تیر - ستون به منظور حل مشکل ازدحام فولاد استفاده می‌شود، در حالی که فاصله‌ی آزاد میلگردها (c_s) در تیر یا ستون معمولاً بین ۱d_b تا ۳d_b است.^[۶] بنابراین ضایعه‌ی فاصله‌ی

در طول نیم قرن گذشته، صنعت بتن‌های مسلح با مشکلاتی در ارتباط با ازدحام میلگردها و کمیود فضای برای مهار میلگرد مواجه بوده است. تغییرهای مستمر آینین نامه‌های طراحی به منظور تطبیق با ترافیک‌های سنگین (به عنوان نمونه، بار کامیون‌های در حال حرکت) و خطرهای فوق العاده (مانند اثرهای زلزله) منجر به افزایش استفاده از میلگردهای با قطر زیاد در سازه‌های بتن مسلح شده است. از طرفی طول مهار موردنیاز، تابع قطر میلگرد است. بنابراین، در بی افزایش اندازه‌ی میلگردها، طول مهار برای تأمین گیرایی مناسب نیز افزایش یافته است، که مشکل ازدحام را تشخیص دهد.

استفاده از قلاب ۹۰ درجه‌ی استاندارد برای اطمینان از تأمین طول مهار کافی در منطقه‌هایی که میلگردهای با قطر زیاد ختم می‌شوند، اجتناب‌ناپذیر است. مشخص شده است که قطع میلگرد مستقیم با طول گیرایی ناکافی از مقطع بحرانی بسیار خطرناک است. خرابی ناشی از عدم مهار میلگردها نه فقط مانع رسیدن به لنگرهای طراحی و مقاومت برشی اعضا می‌شود، بلکه ممکن است منجر به فوریت‌زیش فاجعه‌منگیز به عمل عدم انسجام سازه شود. این اتفاق ممکن است در حالت مهار میلگرد با قلاب نیز به عمل عدم وجود فضای کافی برای مهار میلگرد

* نویسنده مسئول
تاریخ: دریافت ۱۱/۹/۱۳۹۳، اصلاحیه ۲۷/۲/۱۳۹۴، پذیرش ۲۶/۳/۱۳۹۴

تیر رخ دهد. این پارامترها شامل: فاصله‌ی آزاد بین میلگردهای کلاهک‌دار، تعداد ردیف‌های میلگردهای کلاهک‌دار، و طول مهار میلگردهای کلاهک‌دار هستند. شکل ۱، جزئیات میلگردگذاری نمونه‌ها را نشان می‌دهد. هر یک از نمونه‌ها شامل یک ستون و یک تیر است، که از یک طرف به آن متصل شده است. نمونه‌های آزمایش شامل نمونه‌های JHT^{۳۱۸} و JHC^{۳۵۲} با میلگردگذاری در ۱ ردیف در بالا و پایین تیر با فاصله‌ی آزاد کم و نمونه‌های JHT^{۳۱۸} و JHT^{۳۵۲} J شامل ۲ ردیف میلگرد در بالا و پایین تیر هستند. نامگذاری نمونه‌ها به این صورت است که حرف J بیان‌گر اتصال (Joint)، حرف H بیان‌گر نوع مهار میلگردهای تیر با کلاهک (Headed)، حرف C بیان‌گر فاصله‌ی نزدیک میلگردها (Closely Spaced) است (Two Layers) و عددهای ۳۱۸ و ۳۵۲ به ترتیب بیان‌گر تعیین طول مهار میلگردها براساس رابطه‌های آین نامه‌های ACI ۳۱۸-۱۱ و ACI ۳۵۲R-۰۲ هستند.

شکل ۲، میلگردهای کلاهک‌دار را نشان می‌دهد، که جزئیات و اندازه‌های آن‌ها در جدول ۱ خلاصه شده است، که در آن d_b قطر میلگرد، A_b مساحت میلگرد، t_h قطر کلاهک، d_h ضخامت کلاهک، و A_{brg} مساحت خالص باربر کلاهک هستند. نسبت مساحت خالص باربر کلاهک (A_{brg}/A_b) به مساحت میلگرد (A_b) برای کلیه میلگردها ۴،۰۶ است، که نسبت کمینه‌ی ۴ (براساس آین نامه ACI ۳۱۸-۱۱) را برآورده می‌کند. فاصله‌ی میلگردهای کلاهک‌دار در دسته‌ی نمونه‌های JHC و JHT متفاوت است. فاصله‌ی آزاد میلگردها در دسته‌ی JHC، ۰،۲۵d_b (افقی) و در دسته‌ی JHT، ۱،۰۲d_b (عمودی) است، که از مقدار کمینه‌ی تعیین شده در آین نامه‌ی ۱۱-۳۱۸ ACI خیلی کوچک‌تر هستند. تعداد و اندازه‌ی میلگردهای تیر و ستون در هر ۴ نمونه مشابه است، که مقاومت خمی‌یکسانی می‌دهد و منجر به مقاومت جانبی کلی یکسانی در اتصال می‌شود. مقاومت فشاری طراحی بتن ۳۵ MPa و مقاومت مشخصه‌ی طراحی میلگردهای طولی تیر و ستون ۴۵۰ MPa بوده است. در جدول ۲، مشخصات مصالح مصرفی از جمله: مقاومت بتن در روز آزمایش ($f'_{c,meas}$)، تنش تسیلیم ($f_y,meas$) و تنش نهایی ($f_u,meas$) اندازه‌گیری شده میلگردهای تیر و ستون ارائه شده است.

کمینه‌ی طول مهار میلگردهای کلاهک‌دار از مقطع بحرانی در آین نامه‌های ACI ۳۱۸-۱۱ و ACI ۳۵۲R-۰۲ (l_{dt,۳۱۸}) برای اتصال‌های

جدول ۱. اندازه‌های کلاهک‌ها و میلگردهای کلاهک‌دار

| A_{brg}/A_b | A_{brg} (mm ^۲) | A_b (mm ^۲) | t_h (mm) | d_h (mm) | d_b (mm) | نوع میلگرد |
|---------------|---------------------------------|-----------------------------|---------------|---------------|---------------|---------------|
| ۴ | ۱۲۷۶ | ۳۱۴ | ۳۰ | ۴۵ | ۲۰ | Φ۲۰ |

جدول ۲. مقاومت اندازه‌گیری شده مصالح.

| $f_{u,meas}$ (MPa) | $f_{y,meas}$ (MPa) | $f'_{c,meas}$ (MPa) | نمونه |
|-----------------------|-----------------------|------------------------|---|
| ۶۲۰ | ۴۷۱ | ۲۴/۶ | JHC ^{۳۱۸} و JHC ^{۳۵۲} |
| | | ۲۸/۸ | JHT ^{۳۱۸} و JHT ^{۳۵۲} |

ازاد کمینه‌ی ۴ db اجرایی نخواهد بود. از طرفی، با مشخص کردن فاصله‌ی آزاد کمینه‌ی ۴ db بین میلگردهای کلاهک‌دار می‌توان به طور ضمنی استفاده از آن‌ها در چند ردیف را ممکن داشت. علاوه بر این، هیچ ضابطه‌ی خاصی در رابطه با میلگردهای کلاهک‌دار استفاده شده در کاربردهای لرزه‌ی در فصل ۲۱ آین نامه‌ی ۱۱-۳۱۸ ACI (سازه‌های مقاوم در برابر زلزله) وجود ندارد.

۲. هدف آزمایش

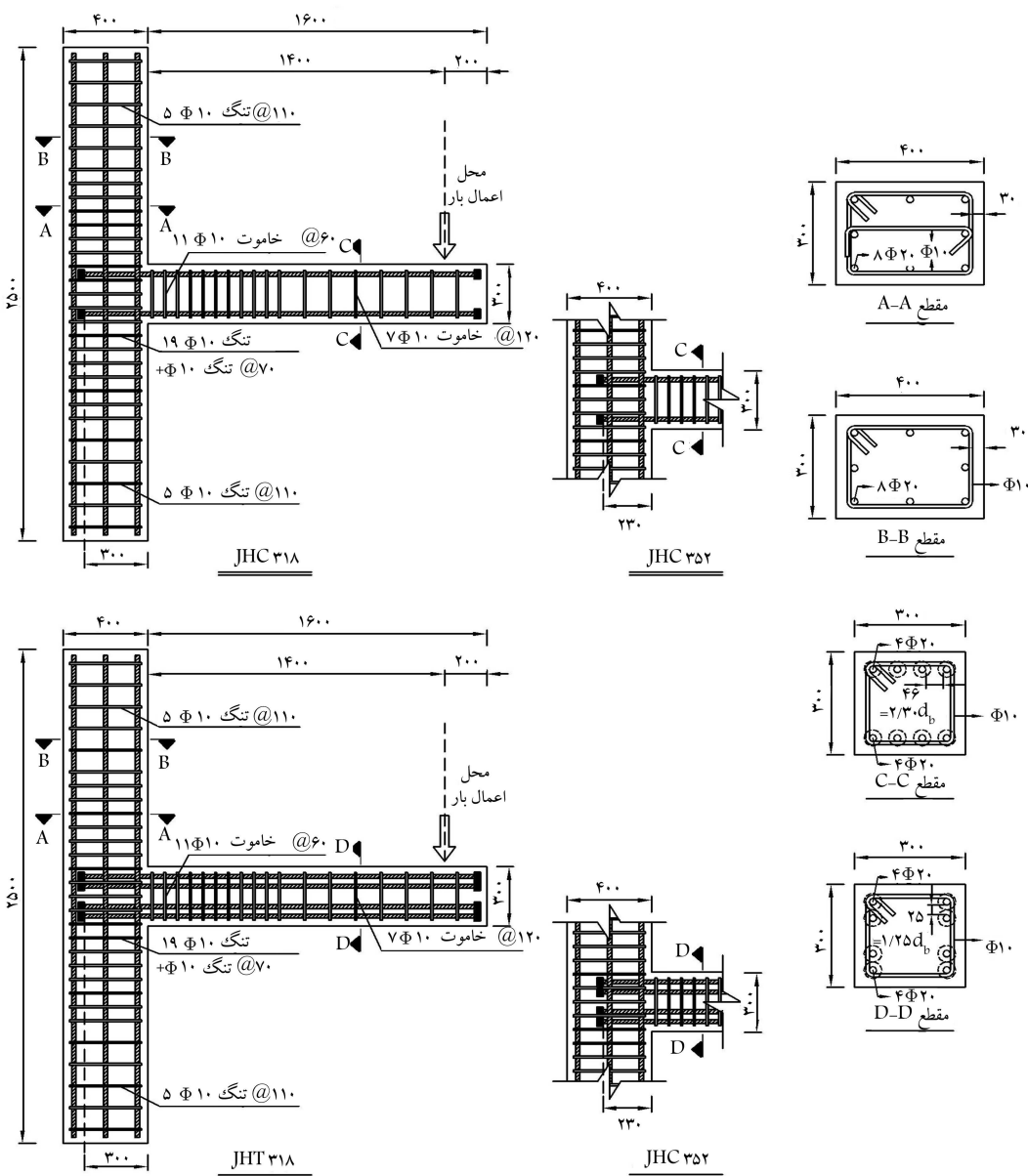
همان‌طورکه اشاره شده است، آین نامه‌های موجود در مورد فاصله‌ی آزاد میلگردهای کلاهک‌دار و استفاده از آن‌ها در چند ردیف کاستی‌هایی دارند. به علاوه، تعداد داده‌های موجود مربوط به آزمایش اتصال‌های تیر- ستون تحت بارگذاری چرخه‌یی با تغییرشکل‌های غیرکشسان، بسیار اندک است. از طرفی استفاده از میلگردهای کلاهک‌دار به منزله‌ی یکی از بهترین انتخاب‌ها در ساخت و سازهای اخیر بتن مسلح به شدت در حال افزایش است و به عنوان مصالحی مهم و محیوب شناخته می‌شوند. همچنین تاکنون گزارشی برای بررسی اثر توأم پارامترهای طراحی میلگردهای کلاهک‌دار، که به احتمال فراوان پاسخ اتصال را تحت تأثیر قرار خواهد داد، ارائه نشده است. هدف اصلی این پژوهش، بررسی آزمایشگاهی محدودیت‌های مربوط به فاصله‌ی آزاد میلگردهای کلاهک‌دار و همچنین استفاده از میلگردهای کلاهک‌دار در ۲ ردیف به همراه اثر متقابل‌شان در برابر طول مهار میلگردهای مذکور در اتصال‌های خارجی تیر - ستون بتن مسلح با طراحی ویژه‌ی لرزه‌یی است.

۳. برنامه‌ی آزمایش

در این پژوهش، ۴ اتصال تیر - ستون با مقیاس ۲:۳ مورد آزمایش قرار گرفته‌اند. عدد از نمونه‌ها با یک ردیف افقی از میلگردهای کلاهک‌دار نزدیک به هم و ۲ تای دیگر با ۲ ردیف افقی میلگردهای کلاهک‌دار بوده‌اند. در مورد دو نمونه‌ی با آرایش مشابه، هر نمونه طول مهار متفاوتی براساس رابطه‌های آین نامه‌ی ۱۱-۳۱۸ ACI و دسته‌العمل طراحی ۲-۰۵۲R-۰۲ ACI-ASCE می‌باشد. در نمونه‌های با ۲ ردیف افقی میلگرد کلاهک‌دار، میلگردها به نحوی متمازی می‌کنند. در نمونه‌های با ۲ ردیف افقی میلگرد کلاهک‌دار، میلگردها به نحوی قرار گرفته‌اند که کلاهک‌ها دو به دو در راستای عمود به هم چسبیده‌اند. هر یک از این نمونه‌ها نشان‌دهنده‌ی یک اتصال خارجی تحت بارگذاری جانبی زلزله است، که از نقاط عطف تغییرشکل بین طبقه‌ها جدا شده است. این نمونه‌ها از یک ساختمان نمونه به ارتفاع طبقه‌ی ۳/۳ متر و طول دهانه‌ی ۵/۰ متر با مقیاس تقریبی ۲:۳ اندازه‌ی واقعی ساخته شده‌اند.

۴. نمونه‌های آزمایش

نمونه‌های آزمایش در این پژوهش مطابق ضابطه‌ها و توصیه‌های ACI (آین نامه‌های ACI ۳۱۸-۱۱ و ACI ۳۵۲R-۰۲) برای طرح لرزه‌یی اعضاء قاب خمی ویژه، جز در مورد چند پارامتر طراحی که مورد توجه در این پژوهش هستند، طراحی و میلگردگذاری شده‌اند. بنابراین انتظار می‌رود که اگر پارامترهای مورد بررسی در آزمایش، سبب خرابی زودرس نامطلوب نشوند، در نمونه‌ها مکانیزم مفصل شدن در



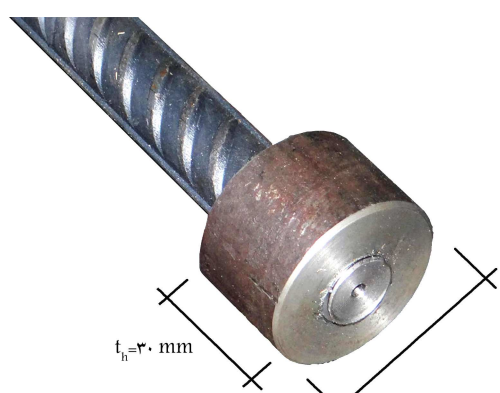
شکل ۱. جزئیات و اندازه‌های نمونه‌های آزمایش (تمام اندازه‌ها به میلی‌متر است).

لرزه‌بی (نوع ۲) مطابق روابط ۱ و ۲ مشخص می‌شوند:

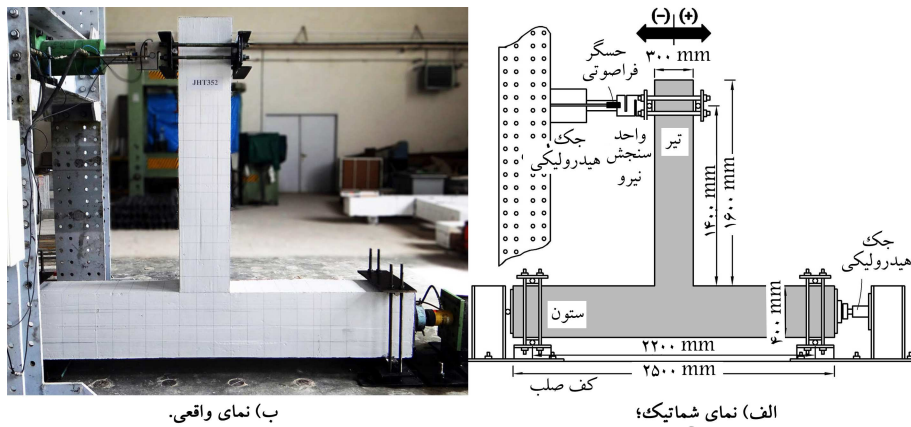
$$l_{dt,318} = \frac{f_y d_b}{5\sqrt{f'_c}} \quad (1)$$

$$l_{dt,352} = \frac{f_y d_b}{6\sqrt{f'_c}} \quad (2)$$

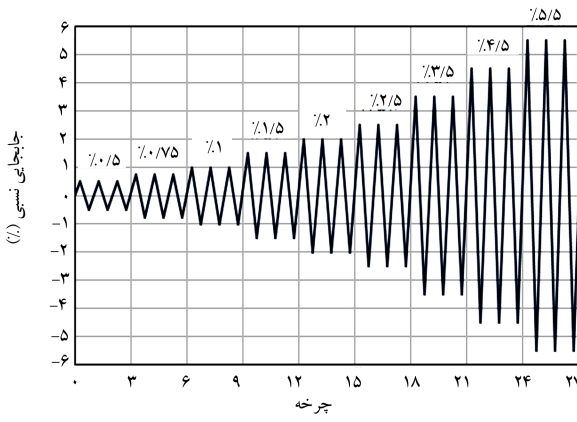
که در آن‌ها، f'_c مقاومت فشاری مشخصه‌ی بتن، f_y مقاومت تسلیم مشخصه‌ی فولاد، و d_b قطر میلگرد است. این تذکر لازم است که طول مهار میلگردهای کلاهک دار و موقعیت مقطع بحرانی آین نامه‌های ۱۱-۳۱۸ و ۰۲-۳۵۲R ACI و ۰۲-۳۱۸ ACI تعريف‌های متفاوتی دارند. در جدول ۳، طول مهار موردنیاز و فراهم شده طبق تعريف‌های دو دستورالعمل ذکر شده به تفکیک برای نمونه‌های آزمایش نشان داده شده است. هر دو آین نامه‌ی ۱۱-۳۱۸ و ۰۲-۳۵۲R ACI از ادامه ازام دارند که کلاهک مهارشده در اتصال تا وجه دور چشممه‌ی اتصال ادامه



شکل ۲. کلاهک.



شکل ۳. نحوه پیکربندی آزمایش.



شکل ۴. نتایج تاریخچه بارگذاری.

برگشت ± 90 mm به ابتدای تیر اعمال شده است. جهت مثبت و منفی بارگذاری در شکل ۳ مشخص شده است. نتایج های پژوهش های پیشین نشان داده اند که وجود نیروی محوری در ستون می تواند فقط باعث افزایش اندازه مقاومت برشی اتصال شود یا اصلأً تأثیری نداشته باشند،^[۱] بنا بر این نیروی محوری اندازه برابر ۷۰ kN جهت بدست آمدن پیکربندی بهتر نمونه در طول آزمایش توسط جک هیدرولیکی در یک انتها ستون اعمال شده است. در طول این آزمایش ها، مقدار نیروی وارد بر تیر به وسیله ی یک واحد سنجش نیرو با ظرفیت ± 20 kN می باشد. از یک حسگر فراصوتی نیز جهت اندازه گیری جابه جایی نوک تیر (δ_{beam}) استفاده شده است، که موقعیت آن در شکل ۳ نشان داده شده است.

شکل ۴، الگوی تغییر مکان چرخه بی جانبه اعمال شده توسط جک در طول هر آزمایش را نشان می دهد. در مجموع ۲۷ چرخه ای تغییر مکان استاتیکی تا جابه جایی نسبی ۵/۵٪ اعمال شده است. سه چرخه ای متولی با جابه جایی نسبی یکسان جهت بررسی کاهش مقاومت و سختی تحت بارگذاری چرخه بی رفت و برگشتی اعمال شده است.

۶. تحلیل نتایج های آزمایش

شکل ۵، پاسخ های پسماند لنگر تیر (در بر ستون) در مقابل جابه جایی نسبی (از این پس بار - جابه جایی) را برای نمونه های آزمایش نمایش می دهد و در شکل ۶، منحنی پوش بار - جابه جایی نمونه ها مقایسه شده است. همچنین جدول ۴، مقاومت

جدول ۳. طول مهار مورد نیاز و فراهم شده در نمونه ها.

| آینین نامه | نمونه | فرآهم شده موردنیاز* | طول مهار (mm) |
|------------------|--------|---------------------|---------------|
| | | موردنیاز | موردنیاز |
| | JHC۳۱۸ | ۳۰۰ | ۲۶۰ |
| | JHC۳۵۲ | ۲۳۰ | ۲۶۰ |
| ACI ۳۱۸-۱۱ | JHT۳۱۸ | ۳۰۰ | ۲۶۰ |
| | JHT۳۵۲ | ۲۳۰ | ۲۶۰ |
| | JHC۳۱۸ | ۳۰۰ | ۲۰۵ |
| ACI-ASCE ۳۵۲R-۰۲ | JHC۳۵۲ | ۲۳۰ | ۲۰۵ |
| (اتصال نوع ۲) | JHT۳۱۸ | ۳۰۰ | ۲۰۵ |
| | JHT۳۵۲ | ۲۳۰ | ۲۰۵ |

*محاسبه شده بر اساس مقادیر مقاومت مشخصه های بتن و فولاد.

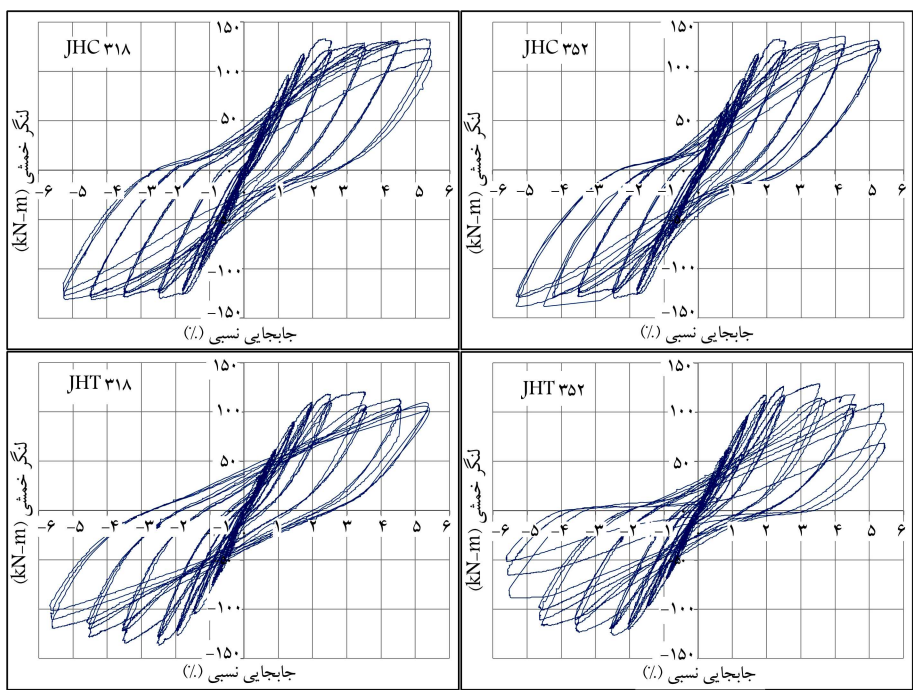
**محاسبه شده بر اساس مقادیر مقاومت اندازه گیری شده بتن و فولاد مصرفی.

یابد. اما در نمونه های JHC۳۵۲ و JHT۳۵۲، مورد مذکور رعایت نشده است.

۵. پیکربندی آزمایش و نحوه بارگذاری

شکل ۳، نمای شماتیک و واقعی پیکربندی آزمایش را نشان می دهد. نمونه ها به نحوی آزمایش شده اند که ستون در موقعیت افقی قرار داشته است. ستون در هر دو انتهای (به عنوان بالا و پایین ستون) با اتصال هایی با عملکرد مفصلی در کتف صلب مهار شده است. ابتدای تیر نیز توسط یک اتصال مفصلی به جک هیدرولیکی رفت و برگشتی متصل بوده است. بنا بر این، ابتدای تیر و بالا و پایین ستون همگی در صفحه ای بارگذاری قابلیت دوران داشته اند، تا نقاط عطف یک قاب خمشی تحت بارگذاری جانبی زلزله را شبیه سازی کنند. ارتفاع ستون طبقه ای مفصل تا مفصل (l_b) ۲۲۰۰ میلی متر و طول تیر از نقطه ای بارگذاری تا سطح اتصال به ستون (l_c) ۱۴۰۰ میلی متر بوده است.

بار محوری رفت و برگشتی به شکل استاتیکی، موازی محور طولی ستون توسط یک جک هیدرولیکی با ظرفیت ۶۰ kN و دامنه خطی رفت و

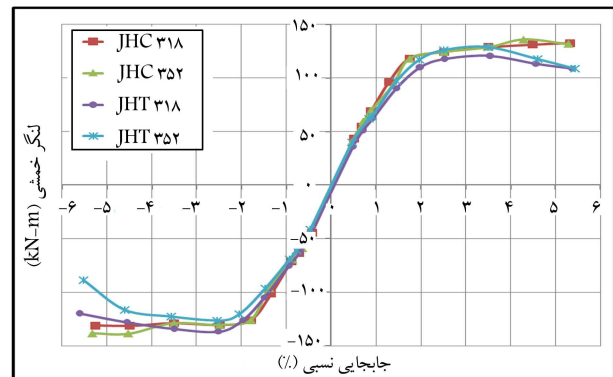


شکل ۵. نمودارهای بار - جابجایی برای نمونه‌های آزمایش.

جدول ۴. مقادیر لنگر و جابجایی نسبی از آزمایش.

| δ_{peak} | M_{peak} | M_n | δ | M_n | مشخصه |
|-----------------|------------|-------|----------|--------|-----------|
| (%) | (kN-m) | (%) | (%) | (kN-m) | |
| ۲,۰ | ۱۳۸ | ۱,۵ | ۱,۵ | ۱۲۲ | + |
| ۵,۲ | ۱۳۹ | ۳,۴ | ۱,۵ | ۱۲۲ | - JK |
| ۲,۴ | ۱۲۳ | ۲,۱ | ۱,۵ | ۱۲۸ | + |
| ۴,۳ | ۱۳۱ | ۲,۲ | ۱,۵ | ۱۲۸ | - JHC ۳۱۸ |
| ۴,۲ | ۱۳۶ | ۲,۱ | ۱,۵ | ۱۲۸ | + |
| ۴,۵ | ۱۳۹ | ۲,۲ | ۱,۵ | ۱۲۸ | - JHC ۳۵۲ |
| ۳,۰ | ۱۲۱ | ۲,۴ | ۱,۷ | ۱۱۷ | + |
| ۲,۵ | ۱۳۷ | ۱,۸ | ۱,۷ | ۱۱۷ | - JHT ۳۱۸ |
| ۳,۵ | ۱۲۹ | ۱,۹ | ۱,۹ | ۱۱۷ | + |
| ۲,۵ | ۱۲۷ | ۱,۹ | ۱,۹ | ۱۱۷ | - JHT ۳۵۲ |

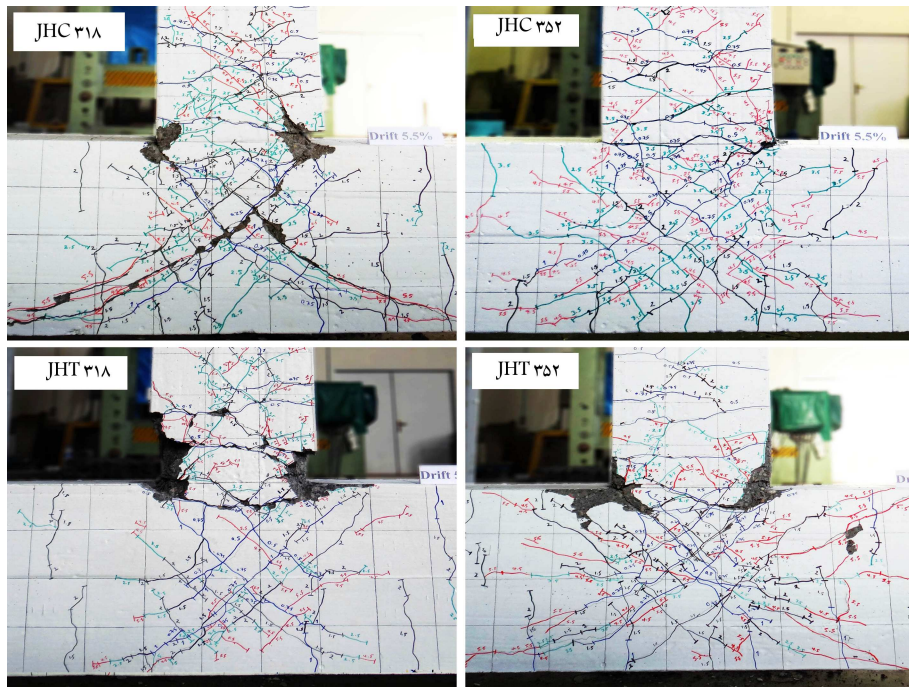
نسبت به محور سیار کم مشاهده شده است (شکل ۵). همان‌طور که در شکل ۶ مشاهده می‌شود، در نمونه‌ی اخیر، پس از جابجایی نسبی ۳/۵٪ و در واقع پس از تشکیل مفصل خمیری در تیر، افت مقاومت مشاهده شده است. در نمونه‌ی با دو ردیف میلگرد در بالا و پایین تیر و طول مهار کوتاه‌تر (JHT ۳۵۲)، رفتار شکل پذیر با جمع‌شدگی نسبت به محور بیشتر از سایر نمونه‌ها و همچنین افت مقاومت بیشتر تا انتهای آزمایش مشاهده شده است. در نمونه‌ی مذکور، افت مقاومت در چرخه‌های تکراری جابجایی ۵/۵٪ نیز به نسبت سایر نمونه‌ها بیشتر بوده است، که علت آن را می‌توان لغزش میلگردهای تیر در اتصال دانست. بنابراین رفتار دو نمونه‌ی ذکر شده نیز شکل پذیر همراه با کاهش اندک مقاومت تا انتهای آزمایش بوده است، که در حد قابل قبول است. بیشترین کاهش مقاومت مربوط به نمونه‌ی JHT ۳۵۲ بوده است،



شکل ۶. نمودار پوش بار - جابجایی.

خمشی اسمی تیر (M_n)، بیشینه‌ی لنگر تیر (M_{peak})، و جابجایی نسبی متضایر آن (δ_{peak}) در طول آزمایش را نشان می‌دهد. در تمامی نمونه‌ها، M_n از M_{peak} تجاوز کرده است، که آن را می‌توان نشان‌دهنده‌ی تشکیل مفصل خمیری در نمونه‌ها دانست. در اینجا، جابجایی نسبی (۸) از تقسیم جابجایی انتهای تیر به طول تیر از نقطه‌ی بارگذاری تا محور ستون تعیین شده است.

از مقایسه‌ی حلقه‌های پسمند (شکل ۵) می‌توان نتیجه گرفت که رفتار کلی نمونه‌های با یک ردیف میلگرد کلاهک‌دار نزدیک به هم در تیر با طول‌های مهار متفاوت (نمونه‌های JHC ۳۱۸ و JHC ۳۵۲)، بسیار مشابه هم هستند. در دو نمونه‌ی مذکور، رفتار شکل پذیر با جمع‌شدگی نسبت به محور (pinching) بسیار اندکی مشاهده شده است. از منحنی پوش بار - جابجایی (شکل ۶) نیز مشاهده می‌شود که دو نمونه‌ی JHC ۳۱۸ و JHC ۳۵۲ در هر دو جهت بارگذاری بدون کاهش در مقاومت جانبی، رفتار مشابهی از نظر روند مقاومتی داشته و همچنین در هر دو جهت به بیشینه‌ی بار تقریباً یکسانی رسیده‌اند. در نمونه‌ی با ۲ ردیف میلگرد در بالا و پایین تیر و طول مهار بلندتر (JHT ۳۱۸)، رفتار شکل پذیر با جمع‌شدگی



شکل ۷. الگوهای ترک خوردنگی در انتهای آزمایش.

برای صلاحیت داشتن اتصال به عنوان عضوی از یک قاب خمشی در شرایط لرزه‌یی شدید و به دست آوردن عملکرد رضایت‌بخش، الزاماتی را مطرح می‌کند. طبق آین نامه‌ی ۱۰۵-۳۷۴، ACI برای پذیرش قاب خمشی با رفتار لرزه‌یی مناسب، باید در سومین چرخه‌ی تکرار جابه‌جایی نسبی ۳/۵٪، این معیارها برای هر دو جهت بارگذاری تأمین شود:

(الف) بیشینه‌ی نیروی اعمالی در هر جهت بارگذاری نباید کمتر از ۷۵٪ بیشینه‌ی مقاومت جانبی در همان جهت باشد؛

(ب) انرژی مستهملک شده‌ی نسبی β نباید کمتر از ۱۲۵٪ باشد؛

ج) سختی سکانتی حدود صفر (K_s) که سختی سکانتی بین جابه‌جایی نسبی ۳۵٪-۰٪-تا ۳۵٪+ است، نباید کوچک‌تر از ۵٪ سختی اولیه (K) از اولین چرخه در همان جهت باشد.

در جدول ۵، نتایج آزمایش که مرتبط با معیارهای پذیرش آین نامه‌ی ۱۰۵-۳۷۴، ACI هستند، ارائه شده است. معیارهای شرح داده شده‌ی الف، ب، و ج به ترتیب در ستون‌های سوم تا پنجم جدول ۵ آمده‌اند. علاوه بر معیارهای عنوان شده، محدودیت عدم تجاوز بیشینه‌ی مقاومت به دست آمده در آزمایش از λ برابر مقاومت اسمی محاسبه شده نمونه‌ها نیز در ردیف دوم جدول ۵ کنترل شده است. علت این کنترل، اطمینان از تأمین رفتار تیر ضعیف - ستون قوی بوده است. ضریب اضافه مقاومت ستون طبق آین نامه‌ی ACI ۳۱۸ است، که برابر ۱/۲۵ است. همان‌طور که مشاهده می‌شود، کلیه‌ی معیارهای پذیرش برآورده شده و عملکرد هر ۴ نمونه رضایت‌بخش تلقی شده‌اند. در ستون‌های ششم تا هشتم جدول ۵، جهت اطمینان از حصول عملکرد رضایت‌بخش، معیارهای پذیرش در جابه‌جایی نسبی ۴/۵٪ نیز مورد بررسی قرار گرفته‌اند. همان‌طور که مشاهده می‌شود، در این جابه‌جایی نسبی نیز معیارهای پذیرش قاب خمشی به عنوان اتصال با رفتار رضایت‌بخش لرزه‌یی برآورده شده‌اند.

به طور خاص، کاهش مقاومت در طول سومین چرخه با جابه‌جایی نسبی ۳/۵٪

که در جابه‌جایی نسبی ۵/۵٪ در جهت منفی به حدود ۷۵٪ بیشینه‌ی مقاومت خود رسیده است.

در شکل ۷، وضعیت نمونه‌ها در انتهای آزمایش (جابه‌جایی نسبی ۵/۵٪) نشان داده شده است. تشکیل مفصل خمیری در تیر در مجاورت ستون در کلیه‌ی نمونه‌ها مشاهده شده است. گسترش ترک‌های ضربه‌ی در چشمی اتصال به علت بارگذاری رفت و برگشتی اجتناب ناپذیر بوده است. عرض ترک‌ها در نمونه‌ی JHC ۳۱۸ تا جابه‌جایی نسبی ۴/۵٪ افزایش چندانی نداشته و به حدود ۰/۹ میلی‌متر محدود بوده است. تشکیل مفصل خمیری تا چرخه‌ی دوم تکرار جابه‌جایی نسبی ۵/۵٪ گسترش یافته و در چرخه‌ی سوم تکرار این جابه‌جایی، افزایش ناگهانی عرض ترک‌های برشی رخ داده است. علت این شکست برشی پس از تشکیل مفصل خمیری، که با افت مقاومت خمشی در این چرخه همراه بوده است، را می‌توان لغزش میلگردی‌های تیر دانست. اما تا پایان چرخه‌ی های جابه‌جایی نسبی ۳/۵٪، افت مقاومت نمونه در حدود ۵٪ بوده است، که مقدار قابل قبولی است.^[۱] از طرفی رفتار کلی نمونه تا پایان آزمایش رضایت‌بخش بوده است. در کلیه‌ی نمونه‌ها افزایش عرض ترک‌های خمشی در جابه‌جایی نسبی حدود ۳/۵٪ و خردشدن مشهود بتن کناره‌ها در حدود جابه‌جایی نسبی ۴/۵٪ رخ داده است. همان‌طور که در شکل ۷ مشاهده می‌شود، در نمونه‌های با طول مهارکوتاهتر JHC ۳۵۲ و JHT ۳۵۲ تعداد ترک‌های برشی در انتهای آزمایش، گستردگرتر از نمونه‌های مشابه با طول مهار بلند ولی با عرض محدود ترک‌ها بوده‌اند. از طرفی، حلقه‌های پسماند و نمودار پوشش جابه‌جایی برای نمونه‌های ذکر شده رفتار رضایت‌بخشی را نشان داده‌اند.

۷. ارزیابی عملکرد طبق آین نامه‌ی ۱۰۵-۳۷۴، ACI

در این بخش به بررسی رفتار لرزه‌یی اتصال‌های آزمایش شده براساس معیارهای پذیرش آین نامه‌ی ۱۰۵-۳۷۴، ACI^[۱۰] با عنوان «معیارهای پذیرش قاب‌های خمشی براساس آزمایش‌های سازه‌یی و تفسیر» پرداخته شده است. آین نامه‌ی مذکور

جدول ۵. مقایسه نتیجه‌های آزمایش و معیارهای پذیرش آینین نامه‌ی ۰۵-۱۱۴۷۴، ACI.

| ۱ | ۲ | ۳ | ۴ | ۵ | ۶ | ۷ | ۸ |
|---|-----------------|-------------|----------------------------|-----------------|-------------|----------------------------|------------------------|
| در چرخه‌ی سوم جابه‌جایی نسبی٪/۴/۵ در چرخه‌ی سوم جابه‌جایی نسبی٪/۳/۵ | | | | | | | |
| | $\frac{K_s}{K}$ | β | $\frac{M_{r,d}}{M_{peak}}$ | $\frac{K_s}{K}$ | β | $\frac{M_{r,d}}{M_{peak}}$ | $\frac{M_{peak}}{M_n}$ |
| $\geq ۰/۰۵$ | $\geq ۰/۱۲۵$ | $\geq ۰/۷۵$ | $\geq ۰/۰۵$ | $\geq ۰/۱۲۵$ | $\geq ۰/۷۵$ | $\leq ۱/۲۵$ | معیار پذیرش |
| $۰/۳۶$ | $۰/۳۷$ | $۰/۹۷$ | $۰/۳۹$ | $۰/۳۶$ | $۰/۹۴$ | $۱/۰۴$ | +* |
| $۰/۲۳$ | | $۰/۹۷$ | $۰/۲۶$ | | $۰/۹۵$ | $۱/۰۳$ | - |
| $۰/۱۷$ | $۰/۳۰$ | $۰/۹۳$ | $۰/۳۸$ | $۰/۳۸$ | $۰/۹۲$ | $۱/۰۶$ | + |
| $۰/۲۲$ | | $۰/۹۱$ | $۰/۳۲$ | | $۰/۹۰$ | $۱/۰۸$ | - |
| $۰/۲۶$ | $۰/۳۷$ | $۰/۸۸$ | $۰/۳۴$ | $۰/۲۹$ | $۰/۸۵$ | $۱/۰۳$ | + |
| $۰/۱۷$ | | $۰/۸۴$ | $۰/۲۲$ | | $۰/۸۷$ | $۱/۱۷$ | - |
| $۰/۲۶$ | $۰/۳۲$ | $۰/۸۱$ | $۰/۲۸$ | $۰/۳۱$ | $۰/۸۸$ | $۱/۱۰$ | + |
| ۲۰ | | $۰/۷۹$ | $۰/۲۵$ | | $۰/۸۸$ | $۱/۰۸$ | - |

* علامت + یا - بیان گر جهت بارگذاری مطابق شکل ۳ هستند.

M_n : مقاومت خشی اسمی تیر (محاسبه شده بر مبنای مشخصات اندازه‌گیری شده مصالح).

M_{peak} : بیشینه‌ی لنگر اندازه‌گیری شده تیر.

$M_{r,d}$: بیشینه‌ی لنگر اندازه‌گیری شده تیر در طول سومین تکرار جابه‌جایی نسبی ۳/۵ یا ۴/۵ درصد.

β : انرژی مستهلك شده نسبی [۱۰].

K_s : سختی سکانتی حدود صفر.

K : سختی اولیه [۱۰].

۱۱-۱۱ ACI کمینه‌ی فاصله‌ی آزاد میلگردها را برابر $4d_b$ مشخص و به طور ضمنی استفاده از چند ردیف میلگرد کلاهک دار را ممنوع کرده است. نتیجه‌های به دست آمده بدین قرار است:

۱. اتصال‌های تیر - ستون خارجی با میلگرد‌های کلاهک دار با فاصله‌ی آزاد $2/۳d_b$ و همچنین عدم امتداد طول مهار میلگرد‌ها تا وجه دور اتصال، براساس معیارهای پذیرش آینین نامه‌ی ۱۱۴۷۴، ACI ۳۷۴، ۱-۰۵، رفتار مناسب و عملکرد لرزه‌بی رضایت‌بخش به همراه تشکیل مفصل خمیری در تیر داشته‌اند.

۲. اتصال‌های تیر - ستون خارجی با میلگرد‌های کلاهک دار در دو ردیف در بالا و پایین تیر، با فاصله‌ی آزاد $۱/۲۵d_b$ و همچنین عدم امتداد طول مهار میلگرد‌ها تا وجه دور اتصال، براساس معیارهای پذیرش آینین نامه‌ی ۱۱۴۷۴، ACI ۳۷۴، ۱-۰۵، رفتار مناسب و عملکرد لرزه‌بی رضایت‌بخش به همراه تشکیل مفصل خمیری در تیر داشته‌اند.

۳. اتصال‌های با استفاده از میلگرد‌های کلاهک دار با فاصله‌ی $2/۳d_b$ در ۱ ردیف، در مقایسه با اتصال با میلگرد‌های کلاهک دار با فاصله‌ی $۱/۲۵d_b$ در ۲ ردیف رفتار بهتری نشان داده‌اند، که علت آن را می‌توان فاصله‌ی بیشتر میلگرد‌ها و اثر کمتر تداخل گوهی باربری کلاهک‌ها در سرعت بخشیدن به لغزش میلگرد‌ها دانست.

۴. به طور کلی استفاده از میلگرد‌های کلاهک دار با چیدمان‌ها و فاصله‌های متعارف اجرایی (که کمتر از مقدار مجاز آینین نامه‌ی ۱۱۴۷۴، ACI ۳۱۸-۱۱) را می‌توان راه حل مناسبی جهت کاهش ازدحام میلگرد در اتصال‌های خارجی تیر - ستون دانست.

به ترتیب در نمونه‌های JHT۳۱۸، JHC۳۵۲ و JHT۳۵۲ با توجه به بیشینه‌ی بار اعمال شده، به میزان بیشینه‌ی $۶/۱۰$ و $۱۵/۱۰$ درصد بوده است. این مقادرهای افت برای جابه‌جایی نسبی ۴/۵ در این نمونه‌ها به ترتیب $۱/۱۱$ ، $۱/۱۶$ و $۱/۲۱$ درصد بوده است، که باز هم کمتر از مقدار مجاز $۲/۲۵\%$ هستند. در چرخه با جابه‌جایی نسبی ۳/۵٪ نمونه‌های با ۱ ردیف میلگرد کلاهک دار نزدیک به هم، استهلاک انرژی (β) و همین‌طور سختی سکانت در حدود جابه‌جایی نسبی صفر (K_s/K) بالاتری نسبت به نمونه‌های با ۲ ردیف میلگرد در بالا و پایین تیر داشته‌اند. این موضوع احتمالاً به علت فاصله‌ی کمتر میلگرد‌های قرارگرفته در ۲ ردیف است، که لغزش میلگرد‌ها را سرعت بخشیده است. به طور کلی از نظر معیارهای آینین نامه‌ی ۱۱۴۷۴، ACI ۳۷۴، JHC۳۱۸ رفتار بهتری نسبت به ۳ نمونه دیگر داشته است.

۸. نتیجه‌گیری

در این پژوهش، ضابطه‌هایی از آینین نامه‌ی ACI ۳۱۸ در مورد مهار میلگرد‌های کلاهک دار در اتصال‌های بتن مسلح مورد ارزیابی قرار گرفته است. این ارزیابی از طریق انجام آزمایش با بارگذاری چرخه‌ی شباهستاتیکی جانبی بر ۴ نمونه اتصال تیر - ستون خارجی با مقیاس ۳:۲ اندازه‌ی واقعی انجام شده است. این آزمایش‌ها در درجه‌ی اول تأثیر استفاده از میلگرد (الف) فاصله‌ی آزاد کم (کمتر از $4d_b$) بین میلگرد‌های کلاهک دار، ب) چند ردیف میلگرد کلاهک دار در تیر، و) اثر متقابل طول مهار میلگرد‌های کلاهک دار و چیدمان میلگرد‌های کلاهک دار در عملکرد لرزه‌بی اتصال خارجی تیر - ستون را مورد بررسی قرار داده است. لازم به ذکر است که آینین نامه‌ی

منابع (References)

1. Wallace, J.W., McConnell, S.W., Gupta, P. and Cote, P.A. "Use of headed reinforcement in beam-column joints subjected to earthquake loads", *ACI Structural Journal*, **95**(5), pp. 590-606 (1998).
2. Chun, S.-C., Lee, S.-H., Kang, T.H.-K., Oh, B. and Wallace, J.W. "Mechanical anchorage in exterior beam-column joints subjected to cyclic loading", *ACI Structural Journal*, **104**(1), pp. 102-113 (2007).
3. Lee, H.-J. and Yu, S.-Y. "Cyclic response of exterior beam-column joints with different anchorage methods", *ACI Structural Journal*, **106**(3), pp. 329-339 (2009).
4. Kang, T.H.-K., Shin, M., Mitra, N. and Bonacci, J.F. "Seismic design of reinforced concrete beam-column joints with headed bars", *ACI Structural Journal*, **106**(6), pp. 868-877 (2009).
5. Kang, T.H.-K., Ha, S.-S. and Choi, D.-U. "Bar pullout tests and seismic tests of small-headed bars in beam-column joints", *ACI Structural Journal*, **107**(1), pp. 32-42 (2010).
6. ACI Committee 318, *Building Code Requirements for Structural Concrete (ACI318-08) and Commentary (ACI318R-08)*, American Concrete Institute, Farmington Hills, Michigan, USA (2008).
7. ACI Committee 318, *Building Code Requirements for Structural Concrete (ACI318-11) and Commentary (ACI318R-11)*, American Concrete Institute, Farmington Hills, Michigan, USA (2011).
8. Joint ACI-ASCE Committee 352, *Recommendation for Design of Beam-Column Connections in Monotonic Reinforced Concrete Structures (ACI352R-02)*, American Concrete Institute, Farmington Hills, Michigan, USA (2002).
9. Meinheit, D.F. and Jirsa, J.O. "Shear strength of R/C beam-column connections", *Journal of Structural Division*, **107**(11), pp. 2227-2244 (1981).
10. ACI Committee 374, *Acceptance Criteria for Moment Frames Based on Structural Testing and Commentary (ACI 374.1-05)*, American Concrete Institute, Farmington Hills, Michigan, USA (2005).